

文章编号: 1005-3026(2001)04-0439-04

# 锰酸锂合成的动力学研究(I)——氧气气氛

张国范, 赵铭姝, 翟玉春, 田彦文  
(东北大学 材料与冶金学院, 辽宁 沈阳 110004)

**摘要:** 用热分析仪测试不同升温速率下氢氧化锂和二氧化锰在氧气气氛中的差热分析曲线, 结合 Doyle-Ozawa 法和 Kissinger 法研究锰酸锂合成的动力学, 计算各反应阶段的表观活化能, 依次为  $59.462 \text{ kJ} \cdot \text{mol}^{-1}$ ,  $92.672 \text{ kJ} \cdot \text{mol}^{-1}$ ,  $163.271 \text{ kJ} \cdot \text{mol}^{-1}$  和  $107.524 \text{ kJ} \cdot \text{mol}^{-1}$ , 并确定反应级数、频率因子、速率常数, 推导出每个反应阶段的动力学方程。为制备尖晶石型锰酸锂提供理论依据, 进一步优化工艺条件。

**关键词:** 锰酸锂, 氧气气氛, 合成动力学  
中图分类号: TM 911 文献标识码: A

尖晶石型锰酸锂是锂离子电池近几年来兴起的正极材料, 它具有合成成本低, 环境污染小, 放电比容量高等优点<sup>[1~3]</sup>。关于锰酸锂合成的动力学研究, 至今未见详尽的报道。研究锰酸锂合成的动力学参数, 可以为制备锰酸锂提供理论依据。在程序控温下, 测量输入到被测样和参比物的温差与温度的关系。为克服试样温度在产生热效应期间与程序温度间的偏离, 试样内部存在温度梯度等缺点, 采用 5 种不同的升温速率分别测试试样的 DTA 曲线。

## 1 实验原料、仪器设备及实验原理

原料为  $\alpha(\text{LiOH} \cdot \text{H}_2\text{O}) : \alpha(\text{MnO}_2) = 0.65 : 1$ , 取样置于  $150 \mu\text{L}$  铂金坩埚, 实验在氧气流量为  $25 \sim 30 \text{ mL} \cdot \text{min}^{-1}$  的动态气氛中进行, 仪器为 METTLER TOLEDO STAR<sup>e</sup> System(瑞典产)。

化学反应动力学研究化学反应速率随时间、浓度、温度的变化关系, 最终建立动力学方程。质量作用定律

$$\frac{d\alpha}{dt} = k(1 - \alpha)^n \quad (1)$$

式中,  $k$  为反应速率常数,  $\alpha$  为反应的变化率,  $t$  为时间,  $n$  为反应级数。

Arrhenius 公式

$$k = A \exp\left(-\frac{E}{RT}\right) \quad (2)$$

式中,  $E$  为活化能  $\text{J} \cdot \text{mol}^{-1}$ ;  $A$  为频率因子;  $R$  为气体常数  $\text{J} \cdot \text{K}^{-1} \cdot \text{mol}^{-1}$ ;  $T$  为温度,  $\text{K}$ 。

将式(2)代入式(1)则

$$\frac{d\alpha}{dt} = A e^{-\frac{E}{RT}} (1 - \alpha)^n \quad (3)$$

升温速率  $\beta = dT/dt$  ( $\text{K} \cdot \text{min}^{-1}$ ), 将  $dt = dT/\beta$  代入式(3)得式(4)。

$$\frac{d\alpha}{dT} = \frac{A}{\beta} e^{-\frac{E}{RT}} (1 - \alpha)^n \quad (4)$$

依据上述 4 个公式, 用 Doyle-Ozawa 法<sup>[4]</sup>和 Kissinger 法<sup>[4, 5]</sup>计算动力学参数。

## 2 锰酸锂在氧气气氛中的合成动力学研究

图 1 中的 DTA 测量升温速率分别为 2, 5, 10,

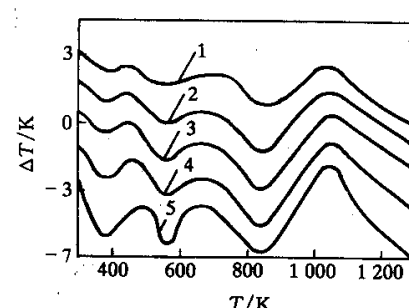


图 1 不同升温速率下合成锰酸锂的 DTA 曲线

Fig. 1 DTA curve of synthesizing  $\text{LiMn}_2\text{O}_4$  at different heating rates

1—2  $\text{K}/\text{min}$  2—5  $\text{K}/\text{min}$  3—10  $\text{K}/\text{min}$ ;  
4—15  $\text{K}/\text{min}$  5—20  $\text{K}/\text{min}$ .

收稿日期: 2000-12-25

基金项目: 辽宁省自然科学基金资助项目(9810300702)。

作者简介: 张国范(1949-)男, 辽宁海城人, 东北大学工程师; 翟玉春(1946-)男, 辽宁鞍山人, 东北大学教授, 博士生导师; 田彦文(1946-)女, 河北昌黎人, 东北大学教授。

15 和  $20 \text{ K} \cdot \text{min}^{-1}$  曲线上都出现了 3 个吸热峰和 1 个放热峰。由 Doyle-Ozawa 法知, 在一定的转化率  $\alpha$  下, 作  $\lg \beta \sim 1/T$  图(图 2(a)~图 2(d))依次

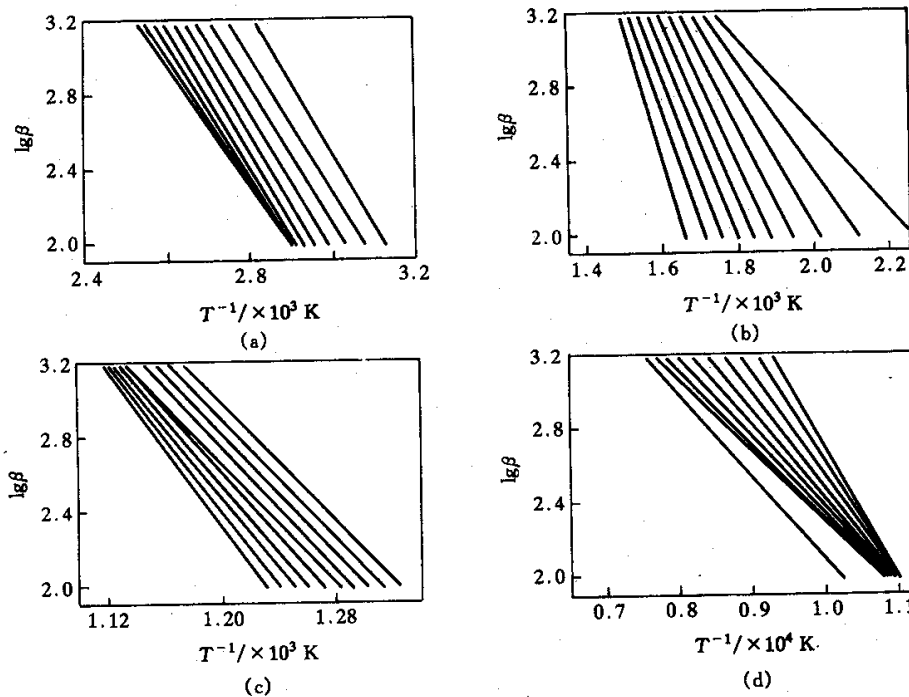


图 2 Doyle-Ozawa 法求活化能的图(每个图中的直线从右至左表明转化率由 10%~100% 依次变化)

Fig. 2 The plot for calculating activation energies of endothermic peak using Doyle-Ozawa method

表 1 不同峰各反应度的活化能( $E/\text{kJ} \cdot \text{mol}^{-1}$ )及线性相关系数( $r$ )

Table 1 Active energies and linear related coefficient at different reaction degree of different peaks

变化度 $\alpha/\%$	第一个峰		第二个峰		第三个峰		第四个峰	
	$E$	$r$	$E$	$r$	$E$	$r$	$E$	$r$
10	70.323	-0.975	42.495	-0.967	145.834	-0.953	137.062	-0.817
20	67.002	-0.974	54.199	-0.963	146.929	-0.947	131.052	-0.800
30	67.477	-0.960	65.633	-0.949	148.900	-0.942	120.896	-0.802
40	69.234	-0.950	75.591	-0.919	151.805	-0.940	110.097	-0.813
50	70.714	-0.942	83.446	-0.870	155.687	-0.939	100.650	-0.825
60	70.937	-0.936	89.479	-0.807	160.647	-0.939	93.347	-0.833
70	69.385	-0.931	94.810	-0.838	166.845	-0.939	88.565	-0.827
80	73.328	-0.939	101.147	-0.867	174.490	-0.937	86.495	-0.803
90	62.720	-0.928	110.929	-0.892	183.865	-0.932	87.576	-0.847
100	59.333	-0.932	128.373	-0.805	195.453	-0.919	92.781	-0.853

由表 1 看出, 第一个吸热峰随反应度的不同, 该反应过程的活化能不同, 可以分成 3 个阶段, 取平均值, 表观活化能为  $68.045 \text{ kJ} \cdot \text{mol}^{-1}$ 。同理, 第四个峰的平均表观活化能为  $104.852 \text{ kJ} \cdot \text{mol}^{-1}$ 。第二个峰随反应度的增大, 反应的活化能增加, 取平均值, 表观活化能为  $84.610 \text{ kJ} \cdot \text{mol}^{-1}$ 。同理, 第三个吸热峰的平均表观活化能为  $163.046 \text{ kJ} \cdot \text{mol}^{-1}$ 。

根据 Kissinger 法, 以  $\ln(\beta/T_m^2)$  对  $1/T_m$  作

为每个峰的计算曲线, 通过各直线的斜率  $-0.4567 E/R$  研究各个反应阶段的活化能。

$$\frac{d\alpha}{dT} = \frac{A}{\beta} \exp\left(-\frac{E}{RT}\right) (1-\alpha)^n \quad (5)$$

在  $T_{\max}$  处有

$$\frac{d}{dt} \left( \frac{d\alpha}{dt} \right) = 0 \quad (6)$$

将式(5)代入式(6)整理后得

$$\frac{E}{RT_m^2} = \frac{An}{\beta} (1 - \alpha_{\max})^{n-1} \exp\left(-\frac{E}{RT_{\max}}\right) \quad (7)$$

$n = 1$ , 有

$$\frac{E}{RT_{\max}^2} = \frac{A}{\beta} \exp\left(-\frac{E}{RT_{\max}}\right) \quad (8)$$

$n \neq 0, n \neq 1$ , 得

$$n(1 - \alpha_{\max})^{n-1} \approx 1 + (n - 1) \frac{2RT_{\max}}{E} \quad (9)$$

因为  $(n - 1) \ll 2RT_{\max}/E \ll 1$ , 式(10)变为

$$n(1 - \alpha_{\max})^{n-1} \approx 1 \quad (10)$$

将式(10)代入式(7), 得到与式(8)相同的近似式, 故式(8)与反应级数无关, 用式(8)计算频率因子  $A$ . 上述动力学参数详见表 2.

表 2 Kissinger 法计算不同升温速率下的动力学参数

Table 2 Kinetics coefficients at different heating rates with Kissinger method

No.	$\beta$	2	5	10	15	20
第一个峰	$T_m/K$	354.00	366.72	368.43	387.61	398.71
	$I$	0.546	0.582	0.677	0.813	0.875
	$n$	0.931	0.961	1.037	1.136	1.179
	$A$	$5.240 \times 10^4$	$6.700 \times 10^4$	$1.230 \times 10^5$	$7.320 \times 10^4$	$5.940 \times 10^4$
	$K = -6.120$	$E = 64.169$				
第二个峰	$n_{av}$	1.049		$\gamma = -0.921$	$A_{av} = 7.500 \times 10^4$	
	$T_m/K$	493.83	505.06	579.82	595.16	596.04
	$I$	1.575	1.736	1.490	1.374	1.026
	$n$	1.581	1.660	1.522	1.477	1.276
	$A$	$7.491 \times 10^7$	$1.038 \times 10^8$	$7.142 \times 10^6$	$5.934 \times 10^6$	$5.934 \times 10^6$
第三个峰	$K = -12.116$	$E = 100.734$				
	$n_{av}$	1.503		$r = -0.970$	$A_{av} = 3.989 \times 10^7$	
	$T_m/K$	800.940	848.07	860.10	866.65	872.76
	$I$	0.812	0.760	1.702	1.020	0.850
	$n$	1.136	1.098	1.644	1.273	1.162
第四个峰	$A$	$4.700 \times 10^7$	$2.680 \times 10^7$	$3.770 \times 10^7$	$4.680 \times 10^7$	$5.250 \times 10^7$
	$K = -19.665$	$E = 163.495$				
	$n_{av}$	1.263		$r = -0.953$	$A_{av} = 4.216 \times 10^7$	
	$T_m/K$	963.71	979.76	1064.50	1107.34	1192.82
	$I$	0.558	1.182	0.663	0.325	0.773
	$n$	0.942	1.370	1.026	0.718	1.108
	$A$	$4.471 \times 10^2$	$8.632 \times 10^2$	$4.982 \times 10^2$	$4.266 \times 10^2$	$2.079 \times 10^2$
	$K = -1.325$	$E = 110.197$				
	$n_{av}$	1.033		$r = -0.995$	$A_{av} = 4.886 \times 10^2$	

每个峰的平均表观活化能分别由 Doyle-Ozawa 法和 Kissinger 法计算, 取平均值, 依次为 59.462 kJ·mol<sup>-1</sup>, 92.672 kJ·mol<sup>-1</sup>, 163.271 kJ·mol<sup>-1</sup> 和 107.524 kJ·mol<sup>-1</sup>.

用非等温过程求取动力学参数后, 进一步判断反应机制. Satyanva 认为<sup>[6]</sup>: 假设在无限小的时间间隔内, 非等温过程可以看成是等温过程. 根据式(3)和表 2, 4 个峰的速率方程分别为

$$\frac{d\alpha}{dt} = 7.500 \times 10^4 e^{-\frac{59.462}{RT}} (1 - \alpha)^{1.047}$$

$$\frac{d\alpha}{dt} = 3.989 \times 10^7 e^{-\frac{92.672}{RT}} (1 - \alpha)^{1.503}$$

$$\frac{d\alpha}{dt} = 1.487 \times 10^7 e^{-\frac{163.271}{RT}} (1 - \alpha)^{1.263}$$

$$\frac{d\alpha}{dt} = 4.886 \times 10^2 e^{-\frac{107.524}{RT}} (1 - \alpha)^{1.033}$$

4 个峰所处的温度范围大致在 333 ~ 444 K 和 457 ~

675 K, 770 ~ 899 K 和 934 ~ 1198 K. 根据 Arrhenius 公式(2)可以求得不同温度下的速率常数.

### 3 结论

(1) 在动态氧气气氛下以不同的升温速率 2 K·min<sup>-1</sup>, 5 K·min<sup>-1</sup>, 10 K·min<sup>-1</sup>, 15 K·min<sup>-1</sup> 和 20 K·min<sup>-1</sup> 对合成锰酸锂的过程进行测试, 表明存在 3 个吸热峰和 1 个放热峰.

(2) 由氢氧化锂和二氧化锰合成锰酸锂的过程分为 3 个阶段: 一水合氢氧化锂脱水阶段、氢氧化锂分解阶段和合成锰酸锂阶段.

(3) 利用 Doyle-Ozawa 法和 Kissinger 法分别计算每个峰的表观活化能, 取平均值, 结果分别为 59.462 kJ·mol<sup>-1</sup>, 92.672 kJ·mol<sup>-1</sup>, 163.271 kJ·mol<sup>-1</sup> 和 107.524 kJ·mol<sup>-1</sup>. 并计算每个峰的

峰形指数、反应级数和频率因子 给出来每个峰的速率方程和温度范围.

### 参考文献 :

- [1] Dahn J R ,Sacker V U ,Juskow M W , et al . Rechargeable LiNiO<sub>2</sub>/carbon [ J ]. J Electrochemical Soc ,1991 ,138( 8 ): 2207 – 2211 .
- [2] Lee Y S ,Sun Y K ,Nahm K S . Synthesis of spinel LiMn<sub>2</sub>O<sub>4</sub> cathode material prepared by an adipic acid-assisted sol-gel method for lithium secondary batteries [ J ]. Solid State Ionics ,1998 ,109 285 – 294 .
- [3] Sun Y K ,Lee K H ,Moon S I ,et al . Effect of crystallinity on the electrochemical behavior of spinel Li<sub>1.03</sub>Mn<sub>2</sub>O<sub>4</sub> cathode material [ J ]. Solid State Ionics ,1998 ,112( 1 ) 237 – 243 .
- [4] 于伯龄 ,姜胶东 . 实用热分析 [ M ]. 北京 :纺织工业出版社 ,1990.151 – 156 ,168 – 174 ,208 – 211 ,54 – 55 .
- ( Yu B L ,Jiang J D . Practical thermal analyses [ M ]. Beijing :Textile Industry Press ,1990. 151 – 156 ,168 – 174 ,208 – 211 ,54 – 55 . )
- [5] 蔡正千 . 热分析 [ M ]. 北京 :高等教育出版社 ,1993.68 – 73 ,113 – 117 .
- ( Cai Z Q . Thermal analyses [ M ]. Beijing :Higher Education Press ,1993.68 – 73 ,113 – 117 . )
- [6] 周红 ,曾文明 . 有关非等温过程的动力学研究 [ J ]. 中国有色金属学报 ,1993 ,3( 2 ) 40 .
- ( Zhou H , Zeng W M . Dynamic study about non-isotemperature process [ J ]. The Chinese Journal of Nonferrous Metals ,1993 ,3( 2 ) 40 . )

## Dynamic Study of Spinel LiMn<sub>2</sub>O<sub>4</sub> Synthesis at Oxygen Atmosphere

ZHANG Guo-fan ,ZHAO Ming-shu ,ZHAI Yu-chun ,TIAN Yan-wen

( School of Materials and Metallurgy ,Northeastern University ,Shenyang 110004 ,China )

**Abstract :** The differential thermal analyses curves were measured at different heating rates in oxygen atmosphere for synthesis of LiMn<sub>2</sub>O<sub>4</sub> with LiOH·H<sub>2</sub>O and MnO<sub>2</sub>. The kinetics of each reaction processes were studied with both methods of Doyle-Ozawa and Kissinger. The reaction active energies for each reaction stage were obtained. They are :59.462 kJ·mol<sup>-1</sup> ,92.672 kJ·mol<sup>-1</sup> ,163.271 kJ·mol<sup>-1</sup> and 107.524 kJ·mol<sup>-1</sup> respectively. The coefficients of reaction order and frequency factor were also determined ,and kinetic equations of each reaction were established as well. The research can be considered as a theoretical base for preparing spinel LiMn<sub>2</sub>O<sub>4</sub> ,and optimizing processing conditions further.

**Key words :** LiMn<sub>2</sub>O<sub>4</sub> ·oxygen atmosphere ·kinetics ·synthesis

( Received December 25 2000 )

# 锰酸锂合成的动力学研究(I)氧气气氛

作者: 张国范, 赵铭姝, 翟玉春, 田彦文  
作者单位: 东北大学材料与冶金学院,  
刊名: 东北大学学报(自然科学版) ISTIC EI PKU  
英文刊名: JOURNAL OF NORTHEASTERN UNIVERSITY (NATURAL SCIENCE)  
年, 卷(期): 2001, 22(4)  
被引用次数: 3次

## 参考文献(6条)

1. DAHN J R;Sacker V U;Juskow M W Rechargeable LiNi<sub>0.2</sub>/carbon[外文期刊] 1991(08)
2. 周红;曾文明 有关非等温过程的动力学研究 1993(02)
3. 蔡正千 热分析 1993
4. 于伯龄;姜胶东 实用热分析 1990
5. Sun Y K;Lee K H;Moon S I Effect of crystallinity on the electrochemical behavior of spinel Li<sub>1.03</sub>Mn<sub>2</sub>O<sub>4</sub> cathode materials[外文期刊] 1998(01)
6. Lee Y S;Sun Y K;Nahm K S Synthesis of spinel LiMn<sub>2</sub>O<sub>4</sub> cathode material prepared by an adipic acid-assisted sol-gel method for lithium secondary batteries[外文期刊] 1998

## 引证文献(3条)

1. 文衍宣, 周开文, 栗海锋, 童张法 空气中LiMn<sub>2</sub>O<sub>4</sub>的热分解动力学[期刊论文]-无机材料学报 2005(2)
2. 文衍宣, 周开文, 薛敏华, 刘自力 氧气中嵌氧生成LiMn<sub>2</sub>O<sub>4</sub>的动力学[期刊论文]-中国锰业 2004(3)
3. 李国防, 李琪, 李飞, 乔庆东 近三年来锰酸锂二次锂电池的研究进展[期刊论文]-石油化工高等学校学报 2003(1)

本文链接: [http://d.g.wanfangdata.com.cn/Periodical\\_dbdxxb200104023.aspx](http://d.g.wanfangdata.com.cn/Periodical_dbdxxb200104023.aspx)